УДК 621.315.592

РАДИОЭЛЕКТРОНИКА

## С.Х. ХУДАВЕРДЯН, А.А. АРУТЮНЯН, Ж.Г. ДОХОЛЯН, А.А. КОЧАРЯН

# О ВОЗМОЖНОСТИ ОПРЕДЕЛЕНИЯ ШИРИНЫ ОПЗ В ДВУХБАРЬЕРНЫХ СТРУКТУРАХ

Рассматриваются вольт-амперные характеристики и спектральное распределение фототоков двухбарьерных структур с высокоомной прослойкой при наличии и отсутствии длинноволновых потерь. Показана возможность определения ширины областей пространственных зарядов (ОПЗ) переходов путем измерения длины волны инверсии спектрального фототока.

*Ключевые слова:* спектральная характеристика, фотогенерированные носители, область пространственных зарядов, тыловой барьер.

В [1] теоретически изучена спектральная характеристика двухбарьерных структур с высокоомной прослойкой между барьерами в области собственного и коротковолнового поглощения с учетом отражающих свойств контактов. На рис.1 приведена энергетическая зонная диаграмма исследуемых силицид-силициум-силицид структур.

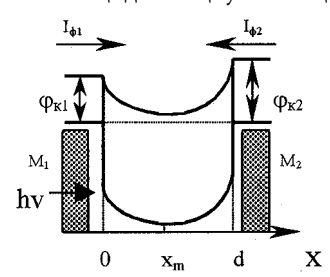


Рис.1. Энергетическая зонная диаграмма структуры NiSi-n-Si-TiSi2

Фототоки, обусловленные переходами в рассматриваемых структурах, как видно из рисунка, имеют противоположные направления. Фототок  $I_{\varphi^1}$ , индуцируемый на участке 0- $X_m$  первого барьера, равен

$$I_{\Phi_1} = qS\beta S_0 (1 - R_1) (e^{\alpha Xm} - 1) (e^{-\alpha Xm} + R_2 e^{-2\alpha d}) (1 + R_1 R_2 e^{-2\alpha d} + R_1^2 R_2^2 e^{-4\alpha d} + ...)$$
(1)

Фототок  $I_{\varphi 2}$ , индуцируемый на участке  $X_m$ -d второго барьера, соответственно равен

$$I_{\Phi_2} = qS\beta S_0 (1 - R_1)(1 - e^{-\alpha(d - Xm)})(e^{-\alpha Xm} + R_2 e^{-\alpha d})(1 + R_1 R_2 e^{-2\alpha d} + R_1^2 R_2^2 e^{-4\alpha d} + ...) .$$
 (2)

Фототоки  $I_{\Phi^1}$  и  $I_{\Phi^2}$  направлены навстречу друг другу. Исходя из (1) и (2), можно вычислить результирующий фототок  $I_{\Phi}$  в структуре по формуле

$$I_{\Phi} = qS\beta S_{0} \frac{1 - R_{1}}{1 - R_{1}R_{2}e^{-2\alpha d}} [(1 + e^{-\alpha d})(1 - R_{2}e^{-\alpha d}) - 2e^{-\alpha Xm}(1 - R_{2}e^{-2\alpha(d - Xm)})],$$
(3)

где q - заряд электрона; S - площадь светочувствительной поверхности;  $\beta$ - квантовый выход;  $J_0$  - интенсивность падающего излучения;  $R_1$  и  $R_2$  - коэффициенты отражения от первого и второго барьеров, имеющих ОПЗ соответственно с толщиной  $X_m$  и d- $X_m$ ; d- толщина базы;  $\alpha$  - коэффициент поглощения.

При отсутствии отражений (R1=R2=0) получим

$$I_{\Phi} = qS\beta S_0 \left[ \left( 1 + e^{-\alpha d} \right) - 2e^{-\alpha Xm} \right]. \tag{4}$$

Результирующий темновой ток также обусловлен разницей темновых токов двух переходов [2] :

$$I_{T} = I_{s1} \left( exp \frac{qVX_{m}}{dkT} - 1 \right) - I_{s2} \left( exp \frac{-qV(d-X_{m})}{dkT} - 1 \right).$$
 (5)

Приведем общую вольт-амперную характеристику с учетом результирующего темнового (5) и светового (3) токов :

$$I = qS\beta S_{0} \frac{1 - R_{1}}{1 - R_{1}R_{2}e^{-2\alpha d}} \left[ \left(1 + e^{-\alpha d}\right) \left(1 - R_{2}e^{-\alpha d}\right) - 2e^{-\alpha Xm} \left(1 - R_{2}e^{-2\alpha(d-Xm)}\right) \right] + I_{s1} \left(e^{(qVXm)/dkT} - 1\right) - I_{s2} \left(e^{-qV(d-Xm)/dkT} - 1\right).$$
(6)

Выражение (6) описывает связь между фототоком, напряжением внешнего смещения (V), длиной волны поглощения (через  $\alpha$ ) и разницей высот потенциальных барьеров ( $\Delta \phi_k$ ), входящих в выражения для  $X_m$  [2].

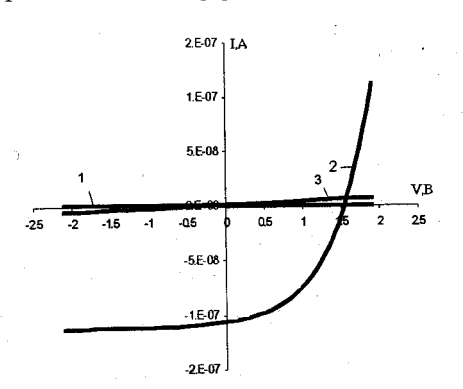


Рис.2. ВАХ структуры NiSi-n-Si-TiSi2. Кр. 1 - темновой ток; кр. 2 и 3 - фототоки при  $\lambda$ =0,4 *мкм* и  $\lambda$ =0,9 *мкм* соответственно. Интенсивность падающего излучения  $J_0$ = $10^{-7}$  *кв/см²с* 

По формуле (6) была построена вольт-амперная характеристика (рис.2). Приложенное отрицательное напряжение смещает обратно первый переход и прямо - тыловой. При смене полярности напряжения прямо смещается первый переход, а тыловой - обратно. При этом в диапазоне напряжений от -2,1 до +1,9 темновые токи меньше, чем  $2 \times 10^{-11} \ A$  (кривая 1 на рис.2).

При освещении из коротковолновой области спектра ( $\lambda$  = 0,4 *мкм*) основная часть излучения поглощается вблизи первого перехода (рис.2, кривая 2). При освещении из длинноволновой области, по сравнению с коротковолновым излучением, возрастает число квантов, поглощенных у тылового барьера. При этом значительная часть квантов не поглощается в базовой области (из-за "хвостовых" потерь) и не вызывает больших изменений сопротивления первого обратно смещенного перехода (кривая 3).

В случае внешнего напряжения, когда первый барьер смещается прямо, а тыловой обратно, при любых значениях длин волн падающего излучения большее число квантов поглощается в области первого барьера, но разделение фотогенерированных носителей происходит полем второго барьера, следовательно, увеличивается ток тылового барьера  $I_{\Phi 2}$ . В итоге, происходит уменьшение коротковолнового фототока, и, начиная с  $V^{\sim}1,5$  B, ток через структуру определяется тыловым обратно смещенным переходом.

Если в (2) принять, что ширина базы d стремится к бесконечности, то этим в выражении для фототока, протекающего через второй барьер, будет учтено влияние всех падающих на образец квантов. При этом выражение (2) примет следующий вид:

$$I'_{\Phi_2} = qS\beta S_0 (1 - R_1)e^{-\alpha Xm}$$
 (7)

 ${\sf C}$  учетом выражения фототока через первый барьер (1) результирующий фототок будет равен

$$I'_{\Phi} = I_{\Phi 1} - I'_{\Phi 2} = qS\beta S_0 (1 - R_1) (1 - 2e^{-\alpha Xm}).$$
 (8)

С учетом темнового тока получим

$$I = I_{T} + qS\beta S_{0} (1 - R_{1}) (1 - 2e^{-\alpha Xm}).$$
 (9)

На рис.З представлены расчетные спектральные кривые для структур NiSi-n-Si-TiSi2 как с учетом "хвостовой" части поглощенных квантов, построенные по (9) (рис.З, кр. 4-6) для соответствующих значений V, так и без их учета, построенные по (4) (рис.З, кр. 1-3) при одинаковой мощности падающего излучения P=4x10-9 *Вт.* Нетрудно заметить, что закономерности для этих кривых сохраняются, однако точка смены знака фототока смещается в сторону коротких длин волн. Это объясняется тем, что число поглощенных квантов вдали от влияния поля первого барьера в области длинных волн увеличивается. Поэтому максимумы длинноволнового фототока значительно больше при учете "хвостовой" части и находятся в области собственного поглощения. Из сравнения кривых 1-3 и 4-6 видно также, что в случае, когда не создается внутреннее отражение от противоположных контактов,

приводящее к увеличению эффективности поглощения, структуры могут служить эффективными фотоприемниками коротковолнового излучения, т.к. при  $\lambda$  < 0,5 *мкм* падающее излучение

базе с толщиной 1

полностью

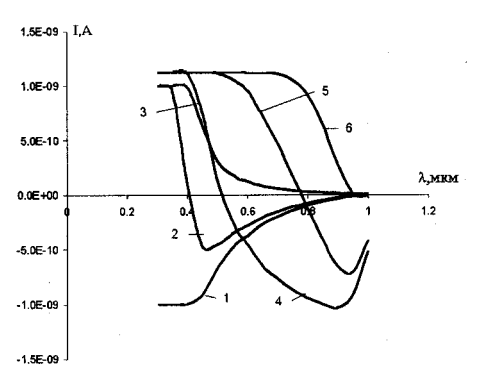


Рис.3. Спектральная характеристика NiSi-n-Si-TiSi2 структур с учетом "хвостового" поглощения (кр. 1-3) и без их учета (кр 4-6). Мощность падающего излучения  $P=4x10^{-9}$   $B\tau$ . С увеличением нумерации кривых растет приложенное на контакте напряжение ("+" на Ni контакте)

Закономерность смещения точки "0" при изменении  $\Delta \phi_k$  или  $X_m$  без учета "хвостовой" части поглощения можно получить из условия  $I_{\varphi}$ =  $I_{\varphi 1}$  -  $I_{\varphi 2}$ . Учитывая, что темновые токи составляют незначительную часть общего фототока и могут быть не учтены, приравнивая (1) и (2) (в точке инверсии спектрального фототока), при отсутствии отражения от контактов ( $R_2$ = $R_1$ =0) можно получить зависимость  $X_m$  от коэффициента поглощения (, которая имеет вид

$$X_{m} = (1/\alpha) \ln 2 - (1/\alpha) \ln (1 + e^{-\alpha d}). \tag{10}$$

С учетом "хвостовой части (αd>1) это выражение примет вид

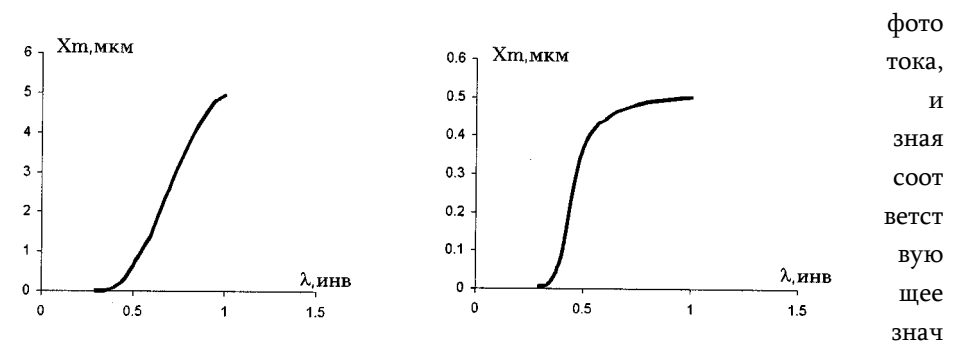
$$X'_{m} = (1/\alpha)Ln2. \qquad (11)$$

поглощается

мкм.

Зависимости ширины области объемного заряда первого перехода от тех длин волн, при которых происходит смена знака фототока, построенные для  $X_m$  и  $X_m$ ' по (10) и (11) соответственно, приведены на рис.4. С увеличением  $X_m$  точка инверсии смещается в сторону длинных волн. Резкое изменение точки "0" с учетом "хвостового" поглощения происходит в более широком диапазоне длин волн, чем без его учета. Это связано с тем, что диапазон  $\lambda_{\text{инв}}$  увеличивается при увеличении эффективности поглощения длинноволнового излучения.

Таким образом, в двухбарьерных структурах, подобных рассматриваемым, экспериментально определяя длину волны, при которой происходит инверсия знака



ение коэффициента поглощения, можно рассчитать по (10) и (11) ширину областей объемных зарядов переходов.

a) 6)

Рис.4. Зависимость точки инверсии фототока с учетом "хвостового" поглощения (а) и без его учета (б) от ширины области объемного заряда первого перехода

#### СПИСОК ЛИТЕРАТУРЫ

- 1. **Khudaverdyan S.Kh.** Photo-detecting characteristics of double barrier structures. // Nuclear Inst. and Methods in Physics Research, A. 2003. V. 504/1-3. P. 350-353.
- 2. **Grigoryan G.E., Pogosyan L.N., Khudaverdyan S.Kh**. Detectors of Electromagnetic Radiation Based on the Double-Barrier Structures. Appled Electromagnetism. 1999. V 2, N 2. P. 43-50.

ГИУА. Материал поступил в редакцию 02.04.2002.

## Մ.Խ. ԽՈՒԴԱՎԵՐԴՑԱՆ, Հ.Հ. ՀԱՐՈՒԹՅՈՒՆՅԱՆ, Ժ.Գ. ԴՈԽՈԼՅԱՆ, Ա.Ա. ՔՈՉԱՐՅԱՆ

## ԵՐԿԱՐԳԵԼՔ ԿԻՍԱՀԱՂՈՐԴՉԱՅԻՆ ԿԱՌՈՒՑՎԱԾՔՆԵՐՈՒՄ ԾԱՎԱԼԱՅԻՆ ԼԻՑՔԵՐՈՎ ՏԻՐՈՒՅԹԻ ԼԱՅՆՈՒԹՅԱՆ ՈՐՈՇՄԱՆ ՀՆԱՐԱՎՈՐՈՒԹՅԱՆ ՄԱՍԻՆ

Դիտարկվում են բարձր օհմային բազայով երկարգելք կառուցվածքների վոլտամպերային բնութագրերը և ֆոտոհոսանքների սպեկտրալ բաշխումը՝ երկարալիքային կորուստների առկայության և բացակայության պայմաններում։ Բերվում է տրված պոտենցիալ արգելքների ծավալային լիցքերով շերտերի լայնության որոշման եղանակ՝ սպեկտրալ ֆոտոհոսանքի նշանափոխման կետի ալիքի երկարության չափման մեթոդով։

#### S.H. KHUDAVERDYAN, H.H. HARUTYUNYAN, J.G. DOKHOLYAN, A.A. KOCHARYAN ON OPPORTUNITY TO DEFINE THE WIDTH OF SPACE CHARGE REGION IN THE DOUBLE-BARRIER STRUCTURES

Current-voltage characteristics and spectral distribution of photocurrents of double-barrier structures with high-resistance base are reviewed in the presence and absence of long-wave losses. There is an opportunity to define the width of space charge region of junctions by measuring the length of inversion wave of spectral photocurrent.